

Starkniederschlagshöhen und -spenden gemäß KOSTRA-DWD-2010R

Auswertungszeitraum von 1951 - 2010, Januar - Dezember

Rasterfeld: 89029

Zeile: 89

Spalte: 29

Seite: 1/2

| Dauerstufe D | Wiederkehrzeit T | | | | | | | | | | | | | | | | | | |
|--------------|------------------|------|------------|------|------------|------|------------|------|------------|------|------------|------|------------|------|------------|-------|------------|-------|------------|
| | 1 a | | 2 a | | 3 a | | 5 a | | 10 a | | 20 a | | 30 a | | 50 a | | 100 a | | |
| min | Std | mm | l / (s ha) | mm | l / (s ha) | mm | l / (s ha) | mm | l / (s ha) | mm | l / (s ha) | mm | l / (s ha) | mm | l / (s ha) | mm | l / (s ha) | mm | l / (s ha) |
| 5 | | 5,8 | 193,3 | 7,9 | 263,3 | 9,2 | 306,7 | 10,8 | 360,0 | 13,0 | 433,3 | 15,2 | 506,7 | 16,5 | 550,0 | 18,1 | 603,3 | 20,2 | 673,3 |
| 10 | | 9,1 | 151,7 | 11,9 | 198,3 | 13,6 | 226,7 | 15,7 | 261,7 | 18,5 | 308,3 | 21,3 | 355,0 | 23,0 | 383,3 | 25,0 | 416,7 | 27,9 | 465,0 |
| 15 | | 11,3 | 125,6 | 14,6 | 162,2 | 16,5 | 183,3 | 18,9 | 210,0 | 22,2 | 246,7 | 25,5 | 283,3 | 27,4 | 304,4 | 29,8 | 331,1 | 33,1 | 367,8 |
| 20 | | 12,8 | 106,7 | 16,5 | 137,5 | 18,6 | 155,0 | 21,3 | 177,5 | 25,0 | 208,3 | 28,6 | 238,3 | 30,8 | 256,7 | 33,5 | 279,2 | 37,1 | 309,2 |
| 30 | | 14,9 | 82,8 | 19,1 | 106,1 | 21,6 | 120,0 | 24,7 | 137,2 | 29,0 | 161,1 | 33,2 | 184,4 | 35,7 | 198,3 | 38,9 | 216,1 | 43,1 | 239,4 |
| 45 | | 16,7 | 61,9 | 21,6 | 80,0 | 24,5 | 90,7 | 28,1 | 104,1 | 33,1 | 122,6 | 38,0 | 140,7 | 40,9 | 151,5 | 44,5 | 164,8 | 49,4 | 183,0 |
| 60 | | 17,7 | 49,2 | 23,2 | 64,4 | 26,4 | 73,3 | 30,5 | 84,7 | 36,0 | 100,0 | 41,4 | 115,0 | 44,7 | 124,2 | 48,7 | 135,3 | 54,2 | 150,6 |
| 90 | | 19,6 | 36,3 | 25,2 | 46,7 | 28,5 | 52,8 | 32,7 | 60,6 | 38,3 | 70,9 | 44,0 | 81,5 | 47,3 | 87,6 | 51,4 | 95,2 | 57,1 | 105,7 |
| 120 | 2 | 21,1 | 29,3 | 26,8 | 37,2 | 30,2 | 41,9 | 34,4 | 47,8 | 40,2 | 55,8 | 45,9 | 63,8 | 49,3 | 68,5 | 53,5 | 74,3 | 59,3 | 82,4 |
| 180 | 3 | 23,3 | 21,6 | 29,2 | 27,0 | 32,7 | 30,3 | 37,0 | 34,3 | 42,9 | 39,7 | 48,8 | 45,2 | 52,3 | 48,4 | 56,7 | 52,5 | 62,6 | 58,0 |
| 240 | 4 | 25,1 | 17,4 | 31,1 | 21,6 | 34,6 | 24,0 | 39,0 | 27,1 | 45,1 | 31,3 | 51,1 | 35,5 | 54,6 | 37,9 | 59,0 | 41,0 | 65,1 | 45,2 |
| 360 | 6 | 27,8 | 12,9 | 33,9 | 15,7 | 37,5 | 17,4 | 42,1 | 19,5 | 48,3 | 22,4 | 54,5 | 25,2 | 58,1 | 26,9 | 62,6 | 29,0 | 68,8 | 31,9 |
| 540 | 9 | 30,7 | 9,5 | 37,1 | 11,5 | 40,8 | 12,6 | 45,5 | 14,0 | 51,8 | 16,0 | 58,2 | 18,0 | 61,9 | 19,1 | 66,6 | 20,6 | 72,9 | 22,5 |
| 720 | 12 | 33,0 | 7,6 | 39,5 | 9,1 | 43,3 | 10,0 | 48,0 | 11,1 | 54,5 | 12,6 | 61,0 | 14,1 | 64,8 | 15,0 | 69,5 | 16,1 | 76,0 | 17,6 |
| 1080 | 18 | 36,6 | 5,6 | 43,2 | 6,7 | 47,1 | 7,3 | 52,0 | 8,0 | 58,6 | 9,0 | 65,3 | 10,1 | 69,2 | 10,7 | 74,1 | 11,4 | 80,7 | 12,5 |
| 1440 | 24 | 39,3 | 4,5 | 46,1 | 5,3 | 50,0 | 5,8 | 55,0 | 6,4 | 61,8 | 7,2 | 68,6 | 7,9 | 72,5 | 8,4 | 77,5 | 9,0 | 84,3 | 9,8 |
| 2880 | 48 | 48,1 | 2,8 | 55,9 | 3,2 | 60,4 | 3,5 | 66,1 | 3,8 | 73,9 | 4,3 | 81,6 | 4,7 | 86,1 | 5,0 | 91,8 | 5,3 | 99,6 | 5,8 |
| 4320 | 72 | 54,2 | 2,1 | 62,5 | 2,4 | 67,4 | 2,6 | 73,5 | 2,8 | 81,8 | 3,2 | 90,1 | 3,5 | 95,0 | 3,7 | 101,1 | 3,9 | 109,4 | 4,2 |

Angaben in mm: Bemessungsniederschlagswerte h(n)

Angaben in l / (s ha): Regenspende R(n) mit $R(n) = h(n) \times 1,666667 / D[\text{min}]$

Toleranzbereiche:

+/- 10 % für $1 \text{ a} \leq T \leq 5 \text{ a}$

+/- 15 % für $5 \text{ a} < T \leq 50 \text{ a}$

+/- 20 % für $50 \text{ a} < T \leq 100 \text{ a}$

Datenbasis: KOSTRA-DWD-2010R des Deutschen Wetterdienstes. Die Regenspende wurde auf Basis des Bemessungsniederschlags zur jeweiligen Andauer berechnet.

Für die Richtigkeit und Aktualität der Angaben wird keine Gewähr übernommen. Erstellt 07/2022.

Starkniederschlagshöhen und -spenden gemäß KOSTRA-DWD-2010R

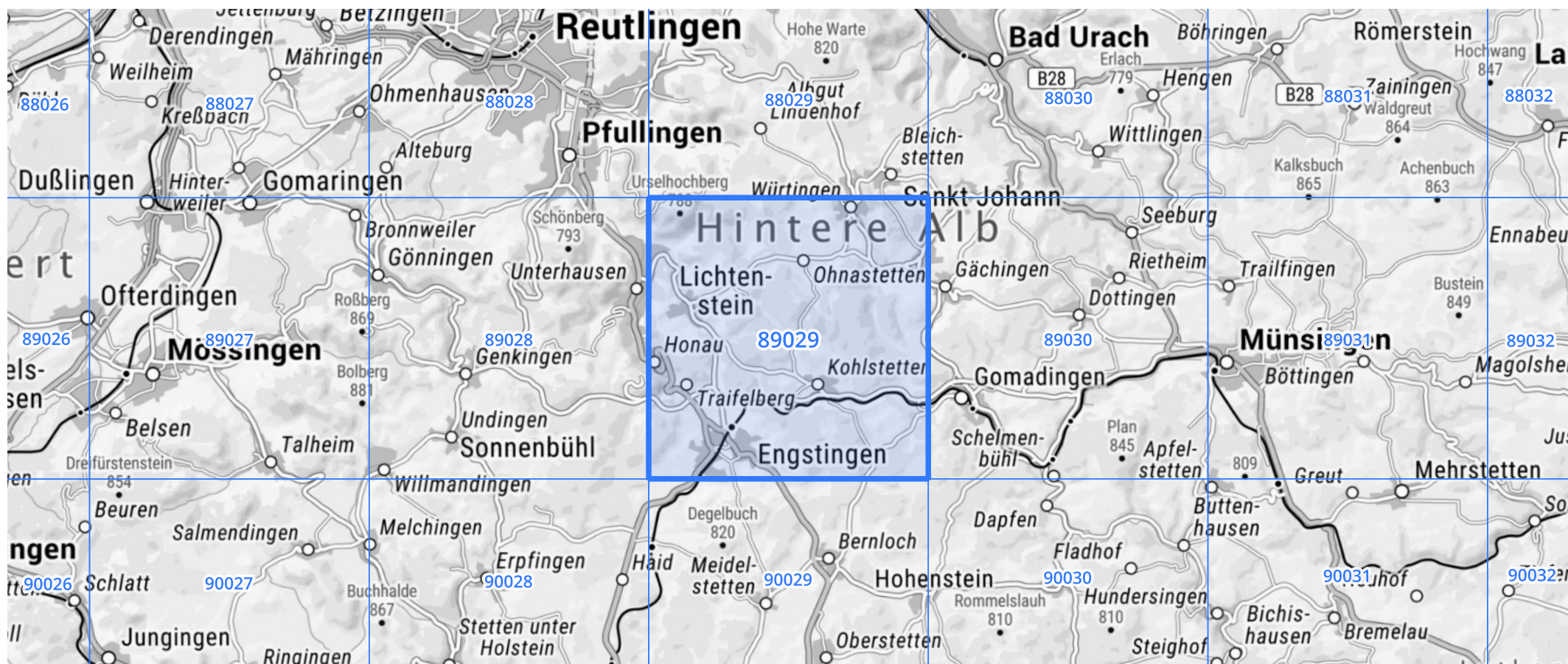
Auswertungszeitraum von 1951 - 2010, Januar - Dezember

Rasterfeld: 89029

Zeile: 89

Spalte: 29

Seite: 2/2



Quelle Rasterdaten: KOSTRA-DWD-2010R des Deutschen Wetterdienstes.

Kartendarstellung: © Bundesamt für Kartographie und Geodäsie (2022), Datenquellen: https://sgx.geodatenzentrum.de/web_public/gdz/datenquellen/Datenquellen_TopPlusOpen.html

Für die Richtigkeit und Aktualität der Angaben wird keine Gewähr übernommen. Erstellt 07/2022.